

بسم الله الرحمن الرحيم

بيان الحالة التطورية لثلاث ترب في وسط وشمال العراق

2- الصفات المايكرومورفولوجية

د. عبدالله عزاوي رشيد

جامعة تكريت - كلية الزراعة - قسم علوم التربية و المياه

الخلاصة:

اظهرت بيدونات ربيعة و الشيخان تباينا واضحا في صفاتهما المايكرومورفولوجية مقارنة ببيدون حديثة من خلال دراسة الشرائح الرقيقة thin sections حيث ابديت انتقال واضح للطين مع اكسيد الحديد مكونا اغشية طينية من نوع Argillans و Ferriargillans حول مدرات التربة (Soil Peds) او على الأسطح الداخلية و الخارجية لفراغات التربة في بيدونات ربيعة و الشيخان ، في حين لم تظهر هذه الحالة في بيدون حديثة بسبب التباين الحاصل في عامل الرطوبة.

سادت الفراغات (voids) من نوع Vughs في بيدون حديثة بينما كانت من نوع Champers و channels في بيدونات الشيخان و ربيعة نتيجة لاختلاف عامل الاستخدام و الظروف المناخية.

اما توزيع اكسيد الحديد انحر (المتببور، غير المتببور) فقد كان ثابتا نسبيا في بيدون حديثة بسبب ظروف الجفاف فيما ارتفع محتواها مع العمق لبيدوني ربيعة و الشيخان و هذا يتماشى مع حالة التطور نتيجة لاستخدام المستمر للتربة و لارتفاع كمية الامطار نسبيا ، بينما كانت النسبة النشطة للحديد ذات قيم مرتفعة في بيدون حديثة الضعيف التطور مقارنة ببيدونات المتطرفة الاخرى (Feo/Fed).

المقدمة

Reheis et al (1995) و مع هذا فإن اغلب الترب تمتلك مسارات بيوجينية متعددة محصاناً تغير الصفات المورفولوجية و الكيميائية للتربة Chadwick et al (1993) و Philips (1995).

تدخل عمليات تكوين التربة بصورة معقدة و تحت ظروف مختلفة محسّلاتها تكوين التربة و تطورها مع الزمن يوسف (1987) عملية تكوين التربة بيوجينيا نتيجة للمسار البنائي Progressive Pathway الذي يتضمن تكوين ترب عميقه ذات افاق متعددة (Barret & Schaatz 1998) وقد يتغير المسار البنائي للتربة مع الزمن نتيجة لتغيرات عناصر

العكيد (1986) بأن الأغشية الطينية عبارة عن حلقة أو عدة حلقات وفريدة من الطين تترسب حول تجمعات التربة (Peds) أو داخل جدران الفجوات (Voids) في الأفق B وآوتها بني لامع ووجودها دليل على حدوث التطور البيولوجي في التربة.

إن عملية ترتيب وتكوين الأغشية الطينية عملية معقدة وتحت تأثير التظروف المناخي للترب الجافة وتبه الجافة من خلال انتقال و إعادة توزيع و ترتيب مكونات التربة خاصة الطين في الأفق B وتشتمل أبا بالعين الصفراء أو بالطريقة السبايكروموروفولوجية باستخدام الشرائح البرقية لتشخيص الأغشية الطينية.

إذ Blume (1989) Ogunyola et al (1969) and Schertmann (1969) إن نسبة الشحنة لل الحديد Feo (أكسيد الحديد الغير المقلورة بينما Fed أكسيد الحديد الحرة) تكون مرتفعة قد تصل إلى 1 في الترب الغير منظورة فيما تختفي النسبة إلى 0.01 في الترب المنظورة والمحتونة على الأفق B.

فيما إذ Schwertmann and Lentz (1966) Francois and Fastovsky (1966) و Francois and Fastovsky (2000) أن عملية الكرب وتنقية الأكسيد الحديد هما صيائين بين وجبيتين تكون خلائياً اثنان من الأكسيد الحديد تحت ظروف الأكسدة وارتفاع درجة قيام التربة بينما وجود الأفق BK يشير إلى ظروف مناخية جافة تطورت تحتها هذه الترب مما يظهر بعد الكاربونات ضئلة أو محاولة بالأشد للحد من

و تحسين الترب المنظورة عن الترب غير المنظورة تدرس الصفات المورفولوجية والغيريشية والكمياتية والمعادنة سكريبا أو سيداتا Birkeland (1964) و Barshad (1974) و Reheis et al (1995) و تحدد الحالة التطورية للترب على عوامل تكوين التربة و أهم ملامح هذا التطور تكوين الأغشية الطينية البرقية من نوع argillans Ferriargillans Schoenberger (1998) et al.

لاحظ Birkeland (1974) أن محتوى الأفق B من الطين للترب المتوسط إلى عالية التطور أكثر من محتواه في الأفقي A و C و غير ذلك من خلال:

- انتقال الطين الناعم الممكون بالتجوية في الأفق A إلى الأفق B خلال المسار و الاستلاقات من خلال عملية التفصل.
 - تكوين الطين في الأفق B.
 - انتقال كعمق من الأفق A إلى الأفق B.
- فضلاً على ذلك أكدوا الباحثون تكوين الأغشية الطينية حول سطوح المدرات (Peds) أو حول داخل سطوح المسامات مؤشرًا لمعرفة حالة تطور التربة و تحولات المعادن الطينية فيها.

و قد أكد Francois and Fastovsky (2000) أن عملية كسب الطين عملية بيودوجيشية تحدث عندما يكون السقوط أكبر من كمية التغير في التربة يتم خلالها انتقال الطين من الأفق A إلى الأفق B ، في حين ذكر Buol and Hole (1959) أن تكوين الأغشية الطينية يتم من خلال انتقال الطين و الأكسيد الحديد و الموارد العضوية من السطح إلى الأسفل و تكون ذات تركيب صفائحي نتيجة للتربة المتعاقبة للأغشية الطينية وأقصد Brewer (1964) و

(مواد في طرائق العمل)

بيكاربونات - ستريليت - داينوبونيت
الصوديوم باستخدام جهاز الامتصاص
الذري Atomic Absorption

2- أكسيد الحديد غير المتبورة
Amorphous iron oxides

فتررت باستخدام محلول أوكر الات
الأمونيوم الحامضية حسب طريقة
(1964) Schwertmann

3- أكسيد الحديد المتبورة Crystalline iron oxides حسب من الفرق بين كمية
أكسيد الحديد الحرارة الكلية مع أكسيد الحديد
غير المتبورة

4- أكسيد الحديد الحرة Free iron oxides
يستخدم طريقة (1979) Jackson

أخذت عينات التربة من الأفاق بيدورنات القراءة
المروضحة في الشكل (1) ثم جفت وخذلت
بسخن معة تقويم 2 ملم وتم إجزاء التخليل
الكلي.

1- الصنفات المورفولوجية الدقيقة Thin Sections تم أخذ عينات ترب غير مستقرة
معلومة الاتجاهات لنراية الصنفات
المورفولوجية باستخدام طريقة الشرائح Brewer Thin Sections حسب طريقة (1964) و Stoops (1998)
يستخدم الـ Araldite والصلب بنسبة (3-1).

2- التغيرات الكمية Total Iron Oxides

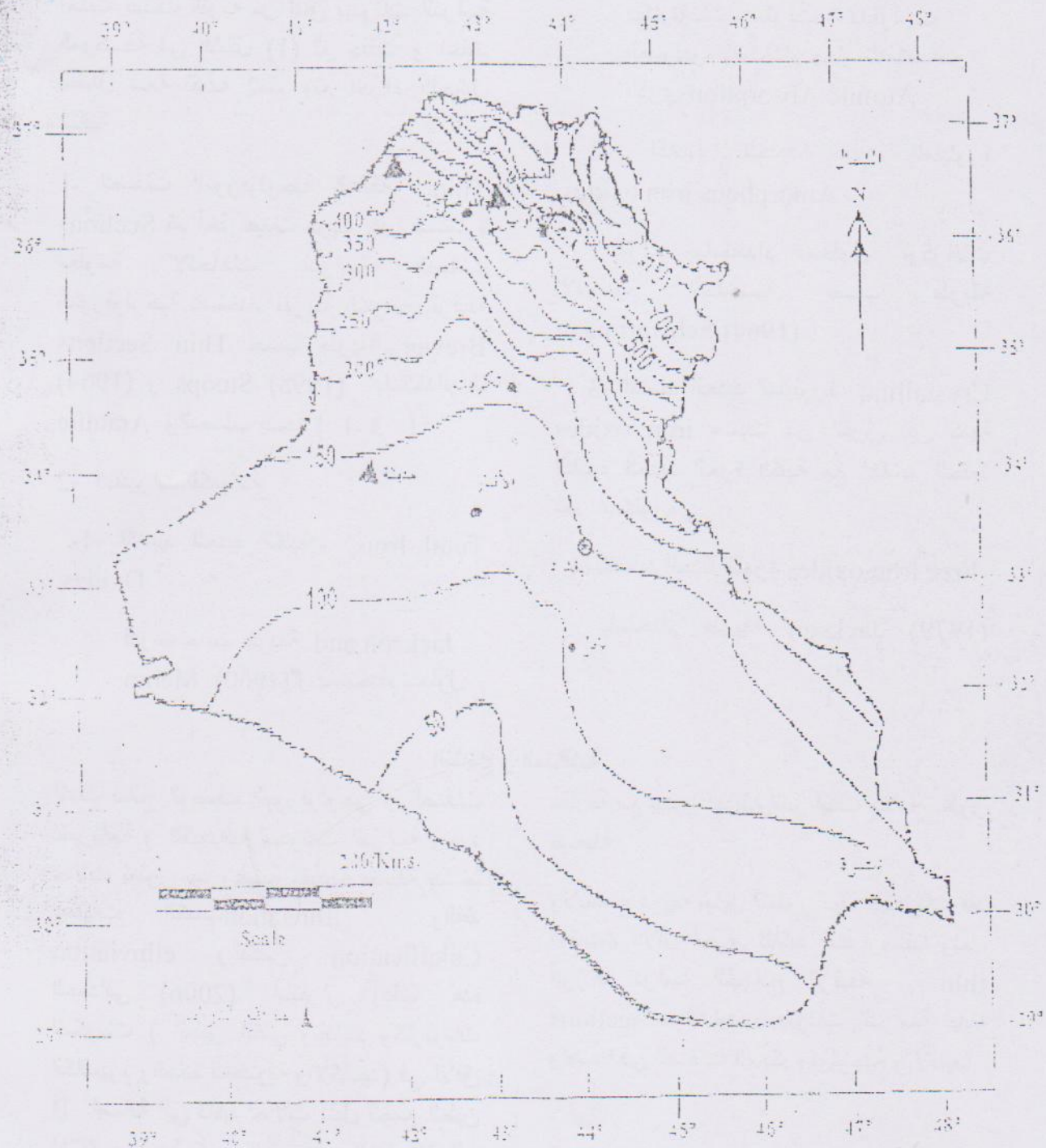
فتررت حسب طريقة Jackson and (1960) Melira

النتائج و المناقشة

مقارنة مع بيدون حديقة التي ابتدت ملامح تطور
ضعيفة

ولا يوضح درجة بين التطور بهذه البيدورنات فقد
اعتقدت ذات أخرى لتاكيد ذلك وبصفتها ولعل
أبرزها نراية الشرائح الرقيقة thin sections حيث ابتدت بيدورنات القراءة تباينا
واضحا في الصفات المايكروفلوجية ولا سيما

أكدت نتائج توصيف المورفولوجي و الصفات
الفيزيائية و الكيميائية لمقدرات القراءة وجود
حالات تطور بيد و جينية متباينة ممثلة بنشاط
عمليات الكسب illuviation و التكسفس Calcification
الحداني (2006). استقرار أغلب هذه
المكونات (الجيني الكلي و التذاعام وكربونات
الكالسيوم والمادة العضوية والأكسيد) في الأفاق
B أضافة إلى تاكيد حالات دليل تجمع الطين
(Cl) و نسبة كمية الطين في الأفاق B التي
كميتها في الأفق A والتي أكدت جميعها تفوق
بيدوني الشيخان وربعه في حالتها التطورية



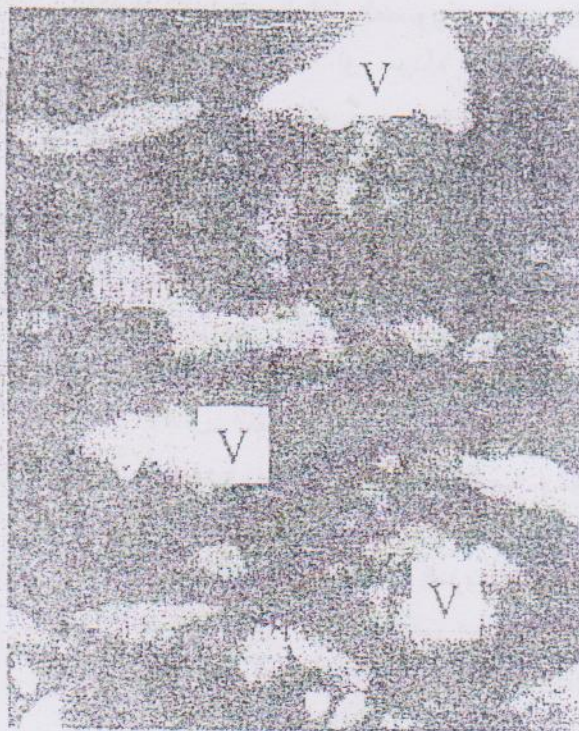
شكل (١) موقع بيدونات الدراسة مع معدل توزيع الأمطار السنوي (ملم)

(2006) غم كغم¹ الحمداني (460-330) اظهرت الصورة (2) للاقى Bk تواجد فراغات كثيرة وبصورة غير منتظمة اغلبها من نوع vughs chamber ولم يكن هناك فشاط فعال لنقل مكونات التربة الفروية خاصة الطينية منها في الافق B في حين تواجدت كميات من اكسيد الحديد غير المتبلورة.

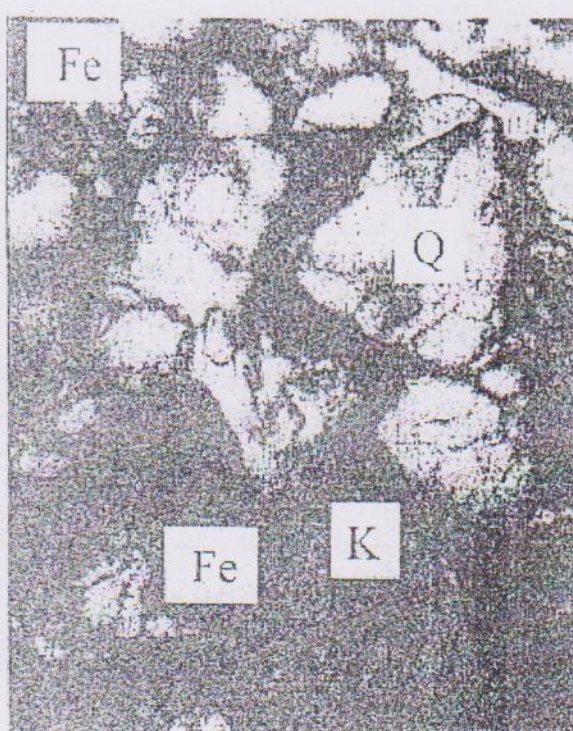
فيما ابدى يدون ربعة حانة مغایرة تماما حيث راحت الصورة (3) للاقى Ap في يدون compound فراغات من نوع channels و packing voids تمتد

نوع وحجم الاغشية الطينية والفراغات فضلا على المعادن الاولية تظهر الصورة (1) للاقى السطحي A في تربة حديثة ضعيفة التطور تواجد بلورات من معادن الكوارتز والكلسيت فضلا على وجود اكسيد الحديد البنية الداكنة اللون والغير متبلورة ، مع وجود زرنيخ حادة وخطوط طويلة على المعادن نتيجة لزيادة التجوية الفيزيائية مع شبه انعدام لتجويه الكيميائية ، سبب تواجد هذه المعادن يعود بالاساس الى زيادة الرمل والغررين حيث بلغت قيمة الرمل (330-350) غم كغم¹ بينما بلغ مقدار الغرين

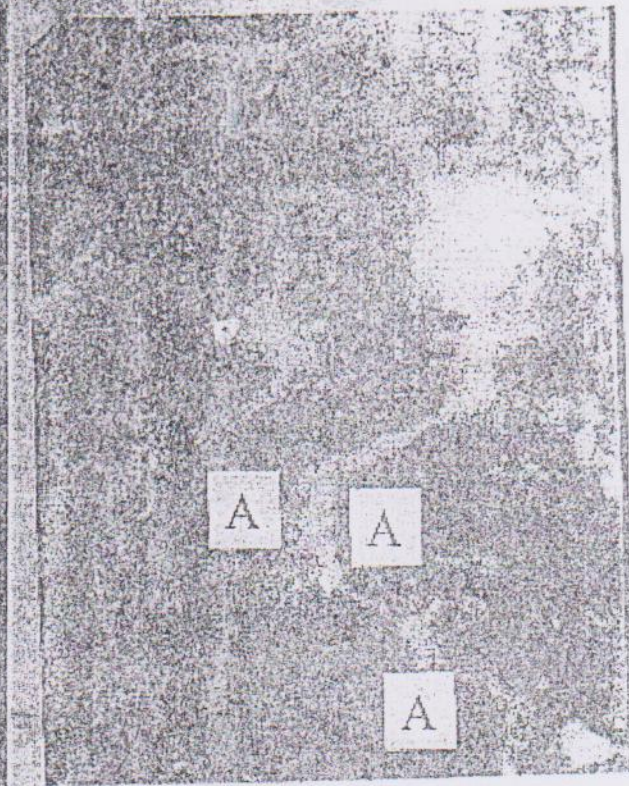
بصورة اسلوبية من الافق السطحي الى الاسفل بصورة عمودية وغير متقطعة وهذه الصيغة تشجع حالات النقل لمكونات التربة خاصة الفروية الى الافق B ، سواء كانت الطين أم



صورة (2) الافق B لترابة حديثة يظهر فيها أنواع مختلفة من الفسام (V)، قوة التكبير x 33x



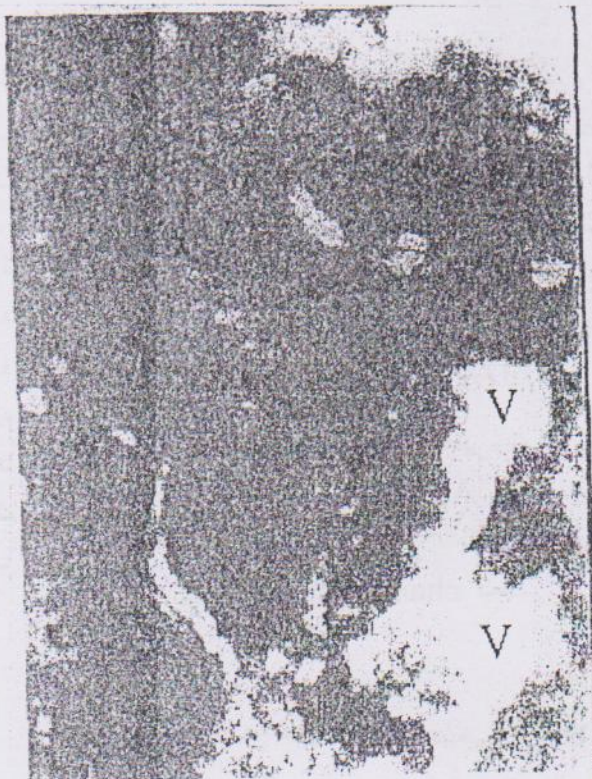
صورة (1) الافق A لترابة حديثة يظهر فيها معادن الكوارتز (Q) و الكاربونات (K) و اكسيد الحديد (Fe). قوة التكبير x 33x



صورة (4) الأفق Btk1 لترية ربعة يظهر فيها انواع الاشعيه الطينيه (A). قوة التكبير $\times 33$

اظهرت تربة الشيخان صفات مشابهه لترية ربعة لوقوعها تحت حالة تطور متشابهة تقريريا حيث توضح الصورة (5) للافق Ap لميبدون الشيخان تواجد فراغات من نوع planes مملوءة بمواد كلسية اضافية الى بقع بنية مواده من اكسيد الحديد و بقع سوداء للمادة العضوية نتيجة لارتفاع نسبة المادة العضوية في الافق Ap والافق Btk1 الى 17 و 7.6 غم كغم الحمداني (2006).

اما الصورة (6) للافق Btk1 لميبدون الشيخان اظهرت حالة انتقال واضحة للطين و الاكسيد من الافق Ap الى الافق Ap تكون اشعيه طينية من نوع Argillans او اشعيه طينية مع اكسيد الحديد من نوع ferriargillans نتيجة لارتفاع عامل الرطوبة سواء من السقي او الامطار ، فضلا عن ذلك اظهرت الصورة امتلاء الفراغات بكميات كبيرة من الاسود الكاربونية المنقوله من الاعلى الى الاسفل و هذا



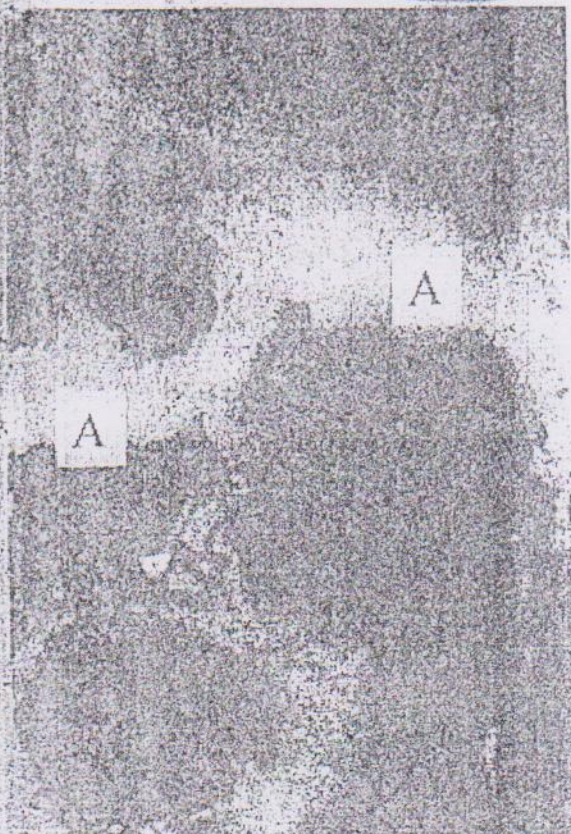
صورة (3) الافق Ap لترية ربعة يظهر فيها انواع الفجوات (V). قوة التكبير $\times 33$

اكسيد الحديد والمادة العضوية والتي تظهر على شكل بقع بنية او سوداء داكنة مخطية لحبوبات التربة .

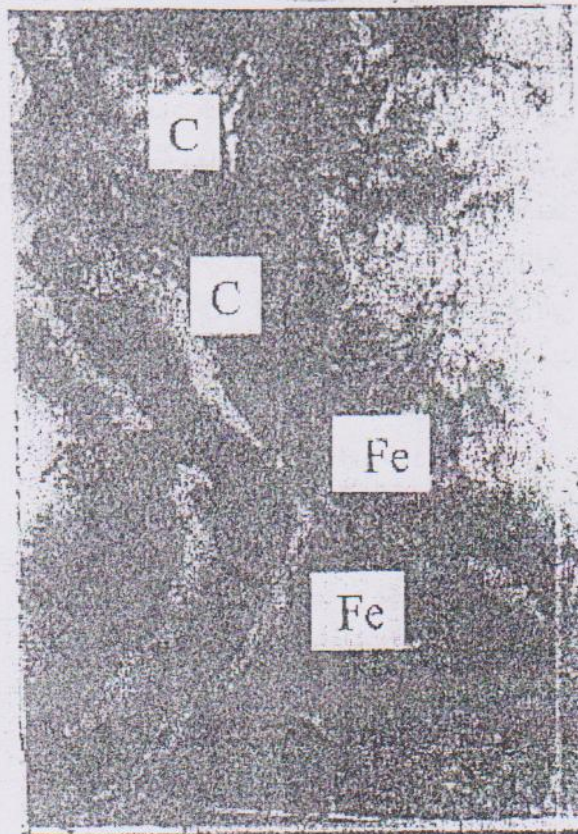
الصورة (4) للافق Btk1 لميبدون ربعة يظهر فيها انتقال واضح للطين مع اكسيد الحديد وتكون اشعيه طينية من نوع argillans ونوع ferriargillans التربة بالمعانن الكاريونية خاصة لتأثيرها بطبقة مادة الأصل الكلسية . الصورة (3) و (4) تظهر بصورة واضحة فعالية الكسب والفقد نتيجة لارتفاع النسبي للامطار والري الدائم اضافه الى تأثير نسجة التربة المزبحة الطينية الحمداني (2006) وهذا يتفق مع ما أشار اليه Francois Buol and Hole (1959) و fastovsky (2000) من التأثير الفعال للرطوبة على حدوث عملية الكسب وتكون اشعيه طينية مع اكسيد الحديد.

توزيع أكاسيد الحديد الكلية الخفاض محتواها في بيدون حديثة مقارنة مع بيدوني ربيعة والشيخان وقد أثبتت تحلساً في توزيعها على طول المقدمة ارتفاع نسبي في كميتهما خاصة في الأفاق السطحية والأفق (B) و هذا ربما يعود إلى مادة الأصل و ظروف الجفاف ، أما أكاسيد الحديد الحرة أثبتت الخفاض نسبياً بكمياتها في حديثة فيما ارتفعت قيمتها في بيدون الشيخان وربيعه مع زيادة محتواها مع العمق كما موضح في الجدول (1) والشكل (2) وتعزى هذه الزيادة مع العمق بدرجة رئيسية إلى زيادة معدل الأمطار نسبياً مع اختلاف في عوامل استخدام التربة وما يرافق ذلك من تباين في طبيعة الغذاء النباتي ومادة الأصل والعوامل المناخية الأخرى هذه العوامل مجتمعة أو منفردة ساهمت على التباين في نشاط عمليات التجوية المختلفة خاصة الكيميائية والتي ساهمت على تحرير الحديد بطبيعته الحرارة وبنسب مختلفة حيث تراوحت قيم أكاسيد حديثة بين 4.5 غم كغم⁻¹ في الأفق السطحي إلى 5.5 غم

يز الدور التعلل للفضل وظاهر ملامح تصور واضحة أدت إلى تكون أفاق المكتب B بدرجة رئيسية وهذا يتماشى مع الوصف المورفولوجي والتيريتي والتكميلي لهذا البيدون الحداثي (2006). يوضع الجدول (1) والشكل (2) سعدي البيدونات من الطين الشاعم حيث ظهر تبايناً واضحاً في توزيعه لــ الخفاض محتواه مع العمق في بيدون حديثة أعلى قيمة كانت في الأفق A إذ بلغت 170 غم كغم⁻¹ و أقلها في الأفق C2 إذ بلغت 90 غم كغم⁻¹ في حين ارتفعت قيم الطين الشاعم مع العمق و بلغ أقصاه في الأفق B لبيدوني الشيخان و ربيعه حيث بلغ 290 غم كغم⁻¹ في بيدون الشيخان بينما كانت 300 غم كغم⁻¹ في بيدون ربيعه وهذا يؤكد فعالية عملية الغسل في حدوث هذا الانقسام والترسيب على عكس بيدون حديثة المعرض لظروف الجفاف ، أما المترacer المختلفة لأكاسيد الحديد أثبت تبايناً واضحاً في توزيعها وكمياتها نظراً لتبادر عامل استخدام وسا يتعلق به من تباين في درجات الحرارة والرطوبة والغطاء النباتي ومادة الأصل .



صورة (6) الأفق Btk1 لنزارة الشيخان وظاهر فيها
الأشنة الطينية (A). قوة التكبير $\times 33\times$



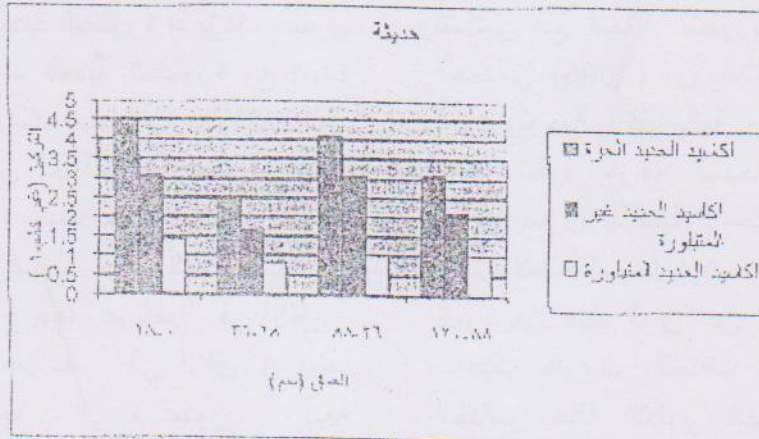
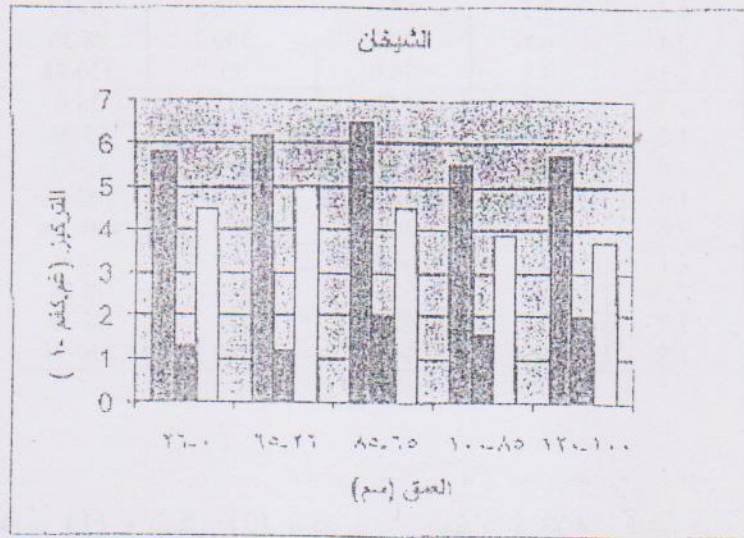
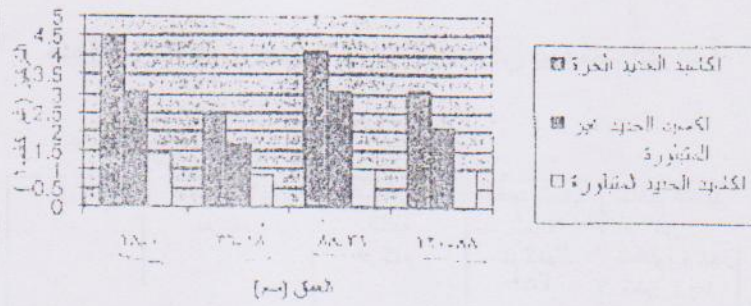
صورة (5) الأفق A لنزارة الشيخان وظاهر فيها فراغات متفرزة
بمواد كلسية (C) وبلغ بنية من أكسيد الحديد (Fe).

قوة التكبير $33\times$

السطحية (B) ويعزى هذا إلى حركة أكسيد الحديد من الأفاق السطحية وبما يتناسق مع انتقال غرويات التربة كالطين الناعم وتكوين الأغشية الطينية الحمداني (2006). وهذه النتيجة تتناسب مع ما أشار إليه بزبني (1999) و Francois and Fastovsky (2000) من زيادة محترى التربة من أكسيد الحديد المتبلورة مع زيادة درجة تطورها.

كغم⁻¹ في الأفق B وهذا راجع إلى ضعف نشاط عمليات التجوية بسبب ظروف الجفاف في حين تراوحت قيم أكسيد الحديد الحرة لبيدون ربعة من 4.9 غم كغم⁻¹ في الأفق C إلى 5.7 غم كغم⁻¹ في الأفق Btk2 بينما في بيدون الشيخان تراوحت من 5.5 غم كغم⁻¹ في الأفق C إلى 6.5 غم كغم⁻¹ في الأفق Btk2.

تشير النتائج إلى ارتفاع أكسيد الحديد الحرة في بيدوني الشيخان وربعة في الأفق تحت



شكل (2) توزيع صور اكاسيد الحديد في بيدونات الدراسة

3.1 غم كغم⁻¹ في الأفق A والأفق C) بينما يلاحظ انخفاض نسبي لها في بيروني ربيعة

اكدوه Ougunsola et al (1989) باختصار هذه النسبة للترب المتباورة حيث يلاحظ انخفاض هذه النسبة في بيروني ربيعة والشيخان الاخر وحده بين 0.31 غم كغم⁻¹ في الأفق C الى 0.42 غم كغم⁻¹ في الأفق Ap لموقع ربيعة بينما بلغت 0.19 غم كغم⁻¹ للأفق Blk1 الى 0.35 غم كغم⁻¹ في الأفق C2 لميادين الشيخان

انخفاض القيم لميادين الشيخان وربيعه مقارنة مع بيرون حديثة يعود الى زيادة معدلات السوائل نسبياً وتبين عامل استخدام الارضتين اللذين ساهموا في زيادة نشاط عمليات التجوية خاصة الكيميائية التي تزيد من خروج الحديد وتتحرر مع مرور الوقت وتتطور اكبر قدر ممكن من اكسيد الحديد مما ادى الى انخفاض النسبة النسبية وهذه النتائج جاءت متفقة مع قيم معامل تجمع الطين (C1) وحالة تطور تلك الترب الحمداني (2006).

يسنترن مما سبق واستناداً الى النصفات المورفولوجية والمايكرومورفولوجية والفيزيائية والكيميائية الى وجود مظاهر تطور مختلفة للترب الفرعية وهذه المظاهر بترتبط بصورة واضحة في ترب ربيعة والشيخان بسبب تأثير عامل المناخ وما يتزكي عنه زيادة في كمية الامطار مع الاستخدام الزراعي المستمر الذي يؤدي الى نشاط العمليات المسؤولة عن نقل وتنزيل مكونات التربة خاصة الطين وابكسيد الحديد والمواد العضوية بعكن تربة حديثة المعرضة لظروف الجفاف مع انعدام عامل الاستخدام وتبين مادة الاصل.

تبين وحث بين 1.2 غم كغم⁻¹ للأفق Blk1 الى 2.0 غم كغم⁻¹ في الأفق Ap لميادين الشيخان اارتفاع اكسيد الحديد غير المتباورة في تربة حديثة وانخفاضها في بيروني ربيعة والشيخان يعود بدرجة اساسية الى الظروف المناخية وما ينسحب عنها من اختلافات بدرجات التجوية والاختلافات في مادة الاصل وانقطاع النبات فقرب حدية الصعوبة التطور ادى ظروف الجناف وقلة التجوية خاصة الكيميائية الى عدم اعطاء الفرصة الكافية لتحول ابكسيد غير المتباورة الى الصورة المتباورة بينما انخفاض قيم اكسيد الحديد انقر ستابلور في بيروني ربيعة والشيخان يعود بدرجة رئيسية الى الارتفاع النسبي لامطاره فضلاً على كميات مياه الري المستخدمة والتي منتهت بدرجة رئيسية في زيادة معدلات التجوية وتحوتها الى الصيغة الاكثر استقراراً وهي اكسيد الحديد المتباورة وهذه الحالة تتماشى مع زيادة الحالة التطورية لمواقع الشيخان وربيعه مقارنة بموقع حديثة و الذي يتوافق مع ما ذكره Schwertmann (1966) and Lentz (1999) و مزبني (1999) من تغير درجة تطور التربة مع الزمن في زيادة محتوى الترب من اكسيد الحديد المتباورة، اضافة لما تقدم يوضح الجدول (1) استخدام النسبة النسبية لتحديد $\text{FeO}/\text{Fe}_2\text{O}_3$ حيث ارتفعت القيمة في تربة حديثة بين 0.68 غم كغم⁻¹ في C1 الى 0.76 غم كغم⁻¹ في الأفق Blk1 وهذا الارتفاع ينطوي مع ضعف الحالة التطورية بهذه المنطقة بسبب قلة التجوية و زيادة اكسيد الحديد غير المتباورة على حساب ابكسيد الحديد المتباورة وهذا ينسحب مع ما

المصادر

- الحمداني، عبدالله عزاوي (2006). تباين الحالة التطورية لثلاثة ترب في وسطى شرق العراق. 1- حساب الدالة التفريغانية للتتطور. مجلة جامعة تكريت للعلوم الزراعية، المجلد (6) العدد (3).
- العكيدتي، مؤمنة خلدة (1986) علم البيوبيوجي (مسح وتصنيف الترب). مديرية دار الكتب للطباعة والنشر، جامعة الموصل، العراق.
- بزيوني، دلشاد رسون عزيز ، 1999. طبيعة توزيع الأكسيدات الحرة و علاقتها بدرجات تطور التربة. رسالة ماجستير، كلية الزراعة، جامعة بغداد.
- يوسف، احمد فوزي (1987) البيوبيوجي ثقة و سورفولوجيها و تقسيمه الاراضي. جامعة الملك سعود، السعودية.
- Barrett, L. R. and R. J. Schaezsl. 1998. Regressive pedogenesis following a century of deforestation evidence of depozolization. Soil Sci. 163(6): 482-497.
- Barshad, I. 1964. Chemistry of Soil development. Pp. 1-70. In E. E. Bear (ed). Chemistry of Soils Rein Hold publ. Crop. New York.
- Birkland, P. W. 1974. Pedology, weathering and geomorphological research. New York. Oxford University, Press.
- Blume, H. P., and U. Schwertmann. 1969. Genetic evaluation of profile distribution of aluminum, iron, and manganese oxides. Soil sci. amer. Proc.vol. 33: 434-444.
- Brewer, R. 1964. Fabric and mineral analysis of soils. John Wiley and Sons, Inc. New York. London. Sydney. USA.
- Buol S. W. and F. D. Hole 1959 Some Characteristics of clay skins on Peds in the B Horizon of Grey – Brown podzolic soil. Soil. Sci. Soc. Am. Proc. 23: 239-241.
- Chadwick, O. A. , W. D. Netleton, and G. J. Staudt. 1995. Soil Polygenesis as function of Quaternary climate change, northern great basin, USA. Geoderma 68: 1-26.
- Francois, T. and D. R. Fastovsky 2000. Paleo environments of early theropods, chinle formation, Petrified forest national park, Arizona, palaeos, V. 15, P. 194-211.
- Jackson, M. L. 1979. Soil chemical analysis. Advanced course. Published by the Author, Madison W. I. USA.
- Mehra, O. P. and M. L. Jackson 1960 iron oxide removal from soils and clays by a dithionite – citrate system buffered with sodium bicarbonate. Clays and clay minerals, 7: 317-327

- Ogunsoala, O. A., J. A. Omueti, O. Olade, And E. J. Udo 1989. Free oxides status and distribution in soils over lying limestone area in Nigeria. *Soil sci.* 147: 245-251.
- Reheis, M. C., J. C. Goodmacher, J. W. Harden, L. D. McFadden, T. K. Rockwell, R. R. Shroba, J. M. Sowers and E. M. Tylor 1995. Quaternary soils and dust deposition in southern Nevada and California. *Geol. Soc. Am. Bull.* 107: 1003-1022.
- Schoeneberger, P. G., D. A. Wysocky, E. C. Benham, and W. D. Brodersom. 1998. Field book for describing and sampling soils. National soil survey service. US department of agriculture, Lincoln, Nebraska.
- Schwertmann, U. 1964. Differenzierung der eisenoxide des bodens durch extraction mit ammoniomoxalat lösung. *Dung. Bodenkunde.* 105: 194-202.
- Schwertmann, U. and D. Lentze 1966. Inhibitory Effect of Soil organic matter on the crystallization of a morphous ferrie Hydroxide. *Nature.* 212: 645-646.
- Stoops, G. 1998. Key to the Issss handbook for soil thin section description. *Nature wet. Tijdschr.* 78: 193-203.

**VARIATIONS IN SOIL DEVELOPMENT AT THREE PEDONS AT MIDDLE AND NORTH OF IRAQ.
2- MICROMORPHOLOGY CHARACTERISTICS.**

Abstract

Three pedons representing Rabia, Sheekan and Haditha regions were selected to evaluate soil development in relation to their micromorphology. Soil of Rabia and Sheekan Showed translocation of clay and / or iron oxides forming two types of clay skins namely argillans and ferriargillans around soil peds or around voids. However soils of Haditha did not show such clay skins. Main void shapes of Haditha are chanpers and vughs, while soils of Rabia and Sheekan are channels dendritic tubar and planes. Distribution of iron oxides with depth are constant in haditha pedon while they increased with depth in Rabia and Sheekan pedons due to soil development of these areas.